

愛知工業大学・土木工学科

正会員 ○成田国朝・奥村哲夫・大根義男

基礎地盤コンサルタント(株)

正会員 村田直二

1.はじめに

筆者らは先に¹⁾、施工中の圧密を考慮した盛土の応力・変形解析法(FEM)の一部として、一次元圧密の概念に基づく簡便的かつ実用的な間隙圧評価の一手法を提案し、1つの実測例と比較してその適用性を検討した。本報告は、この概要として他の2つのアースダムについて検討した結果を述べるとともに、さらに簡略化した間隙圧評価法²⁾との比較を行い適用性を吟味したものである。

2. 圧密計算法

圧密計算の部分だけに着目して計算の流れを示すと図-1のようになる。解析は盛土過程を考慮して段階的に行うものとし、各段階では、(1)全応力解析を行って最大主応力 σ_i^* の増分を求める。(2)各段階(i)の増分 $\Delta\sigma_{ii}^*$ に \bar{B} 値を乗すれば、対応して発生する間隙圧 Δu_{ii} が求まる。(3)各 Δu_{ii} は独立に、発生した時刻を時間軸の0として(t_i)、時間が経過すればがら一次元圧密の概念に基づいて消散過程に入るものとする。(4)任意時刻において残留する間隙圧 u_i は、図-2のように各 Δu_{ii} に対応する残存量 Δu_{it_i} の和で与えられる。以上の計算過程のなかで、 \bar{B} 値の決定と使用する圧密度 $\bar{\alpha}$ ～時間係数 T 関係については以下のように考える。

(1) $u \sim \sigma$ 関係(\bar{B} 値)： \bar{B} 値を求めるためには非排水状態で圧縮試験を行って間隙圧を測定すればよいが、BishopやHilfが提案した関係式に基づいて、通常の圧密試験の結果から $u \sim \sigma$ 関係を作成して推定することもできる(図-3)。

(2) $\sigma \sim T$ 関係：フィルダムのように載重による異方性やダム型式による排水方法の相違が大きい場合は、間隙圧消散の挙動が理論解とかなり異なることが予想される。しかし、現場の圧密条件を室内試験で再現することは非常に困難であるため、実測間隙圧データに基づいて $\sigma \sim T$ 関係を作成する方法が1つの有力な手段になる。図-4は不透水性代表的な4つのタイプのダムについて実測値を整理し、その平均 $\sigma \sim T$ 曲線を示したものである(詳細は文献1)2)。

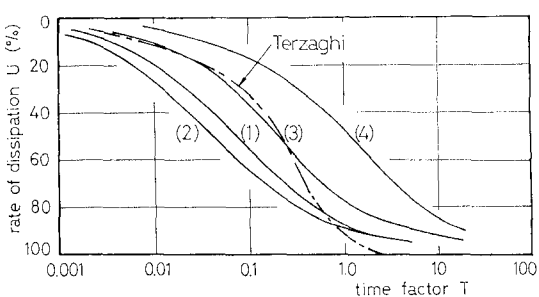


図-4 ダムタイプ別 $\sigma \sim T$ 関係
 (1) central core (2) inclined core (3) homogeneous (vertical drain) (4) horizontal drain

下図には各タイプにおける排水路長 H の

とり方を示してある。これらの曲線は、それぞれある特定のダムについて得られたものであるから一般性があるということではないが、概略の議論を行う場合は類似のダムに対してはある程度の範囲で適用が可能と思われる。

図-4を用いて盛土完成直後の媒体内の間隙圧分布を手計算で簡便的に求めることを図-5に示す(以後、簡略法と称す)。盛土材料の圧密係数 C_u 、考慮率 A における排水路長 H (図では HA または $H\bar{A}$ のいずれ

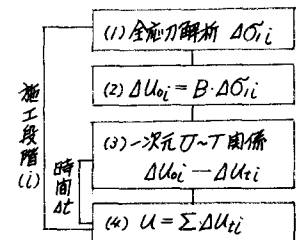


図-1 計算の流れ

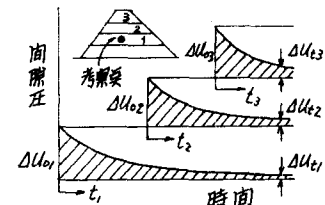


図-2 間隙圧消散

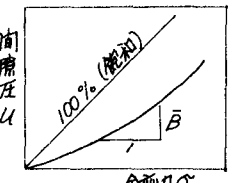


図-3 $u \sim \sigma$ 関係

か種の方法と3) およびA点上の盛土の施工期間を指定されると、A点における時間係数 T 、そして σ ~ T 関係より圧密度ひが求まる。一方、非排水状態でA点に発生する間隙圧 U_H は、直上土かぶり圧 σ_A を全応力 σ として $U = (\sigma - \sigma_A) / U_H$ より計算される。したがって、残留間隙圧 U は $U = (1 - U) \cdot U_H$ より計算される。

簡略法と有限要素解析の相違は、全応力 σ の推定に直上土かぶり圧 σ_A を用いるか、断面内の応力配分から計算される最大主応力 σ_1 を用いるかということと、 σ の増加や U の消散 U_H 段階で考え方か、増分的で考え方かである。一般に、 σ_1 に直上土かぶり圧 σ_A を用いることは U の過大評価につながるが、逆に U の計算 U_H 段階で考えることは過小評価の傾向になると考えられる。

3. 計算結果と考察

図-4の(2)および(3)の σ ~ T 関係を作成する基となつた2つのアースダムについて計算を行ない、実測値と比較して計算手法の妥当性を検討してみた。

図-6は堤高約36mの傾斜コア型ダム(伊坂ダム:三重県)の完成直後の間隙圧分布を比較したそののであり、

a) 図は実測値、b) 図の実線は有限要素解、

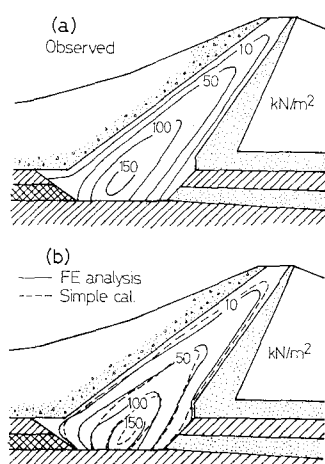


図-6 間隙圧分布(伊坂ダム)

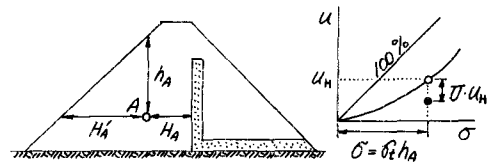


図-5 簡略法

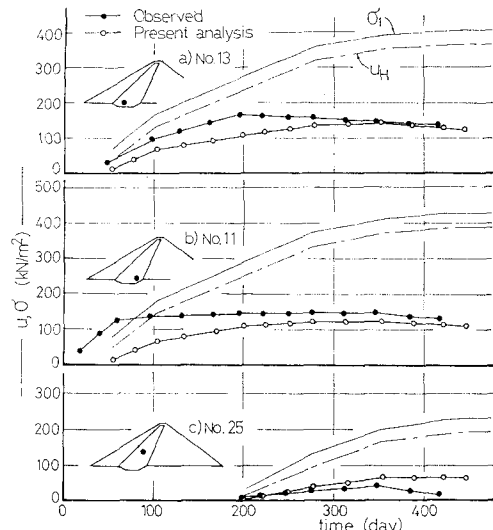


図-7 間隙圧の経時変化(伊坂ダム)

破線は簡略法である。図-7には中心コア内の代表的な3箇所について間隙圧の経時変化を比較して示した。この図で σ_1 および U_H は計算で求められた最大主応力 σ_1 および発生間隙圧である。

図-8は堤高約30mの、下流側に斜面ドレーニング有する均一型アースダム(東郷ダム:愛知県)の例であり、b) 図では有限要素解として2つの C_v 値を用いた計算結果を示し、 C_v 値の影響を調べている。

伊坂ダムの例では、図-6にみられるように実測値が計算値よりも若干高なのであるが、全般的には良く対応しているといえる。計算値同士で簡略法と有限要素解と比較すると、間隙圧分布の中心で簡略法の値は小さめに出でるが、全体的にみると極端に相違することはないようである。東郷ダムの例では上流側斜面表層部に実測間隙圧が集中しているが、これは、この部分に軟弱な土が使用されたためである。

参考文献

- 1) 成田・鶴村・大根：“圧密を考慮した盛土の応力変形解析”第1回土質工学研究発表会 P1.1965-1968 2) 山口・大根：“アースダムの設計及び施工”

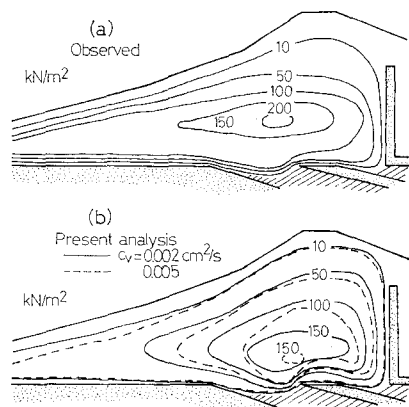


図-8 間隙圧分布(東郷ダム)